

то минимум получается в случае щелевидного зрачка, так как при  $\varepsilon = \infty$  и  $\varepsilon = 0$  в плоскостях (9)  $f = 0$ . Вместо эллиптического можно рассмотреть прямоугольный зрачок и провести аналогичное исследование. При этом основные выводы останутся в силе. Разница будет состоять в том, что пятно рассеяния вместо эллиптического будет прямоугольным, а вместо круглого — квадратным.

### Литература

- [1] S. Czapski, O. Eppenstein. Grundzüge der Theorie der optischen Instrumente nach Abbe, 21, 3 Auf. Leipzig, 1924.
- [2] М. М. Русинов. Техническая оптика, 43. Машгиз, М., 1961.
- [3] А. И. Тудоровский. Теория оптических приборов, ч. 1, 10, АН СССР, 1948.
- [4] В. Н. Чуриловский. Теория оптических приборов, 118. «Машиностроение», Л., 1966.
- [5] Л. С. Волохонский. Автореф. канд. дисс., Л., 1941.
- [6] С. В. Трубко. Автореф. канд. дисс., Л., 1976.
- [7] С. В. Трубко. ВИНИТИ, № 878—76 деп. 1976.

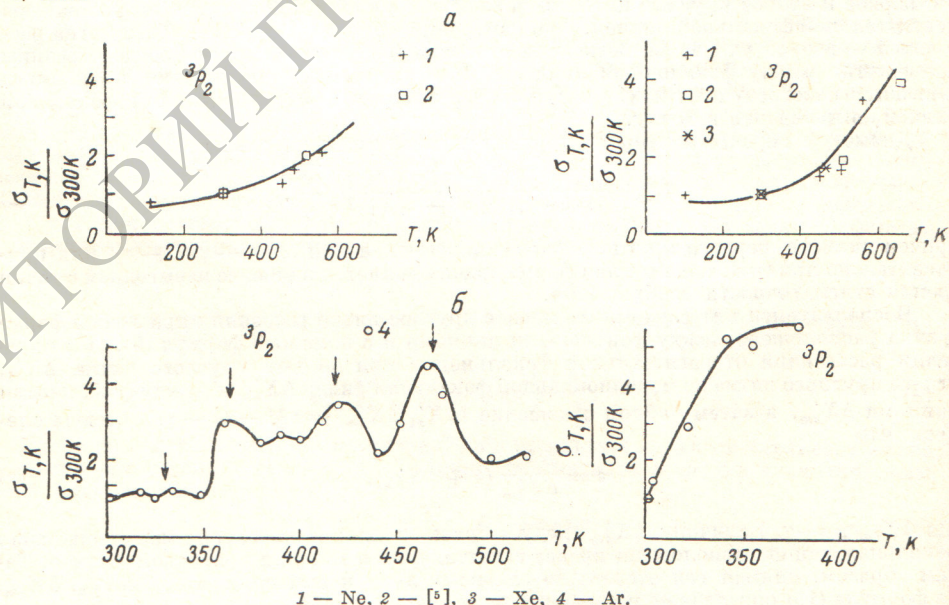
Поступило в Редакцию 27 апреля 1978 г.

УДК 539.186.096

## ТЕМПЕРАТУРНАЯ ЗАВИСИМОСТЬ СЕЧЕНИЙ РАЗРУШЕНИЯ МЕТАСТАБИЛЬНЫХ СОСТОЯНИЙ Ne, Ar И Xe МОЛЕКУЛОЙ ВОДОРОДА

О. П. Бочкова и Л. А. Иванова

В стационарном послесвечении разряда постоянного тока в смесях Ne—H<sub>2</sub>, <sup>3</sup>Ar—H<sub>2</sub>, Xe—H<sub>2</sub> исследована зависимость от температуры сечений разрушения <sup>3</sup>P<sub>0</sub>- и <sup>3</sup>P<sub>2</sub>-состояний Ne и Ar <sup>3</sup>P<sub>2</sub>-состояния ксенона молекулой водорода. Методика измерений и экспериментальная установка аналогичны использованным нами ранее в работах [1, 2]. Температурная зависимость определялась в относительных величинах  $\sigma / \sigma_{300\text{K}}$  для постоянных условий эксперимента.



1 — Ne, 2 — [5], 3 — Xe, 4 — Ar.

В смеси водорода с неоном разрушение <sup>3</sup>P<sub>j</sub>-состояний неона происходит в основном в результате ионизации Пеннинга. В условиях отсутствия колебательного возбуждения H<sub>2</sub> роль каналов ассоциативной ионизации и диссоциативного возбуждения и ионизации порядка 10–15% [3]. Зависимость от температуры сечений разрушения метастабильных уровней неона дана на рисунке, a. Как и в случае гелия [4], наблюдается монотонный рост сечений разрушения в интервале температур 100–500 К для всех трех уровней. Полученные результаты относительного изменения сечений разрушения <sup>3</sup>P<sub>j</sub>-уровней Ne водородом с температурой согласуются с измерениями [5].

| M* + H <sub>2</sub> | $\langle \sigma v \rangle \cdot 10^{-16}$ , см <sup>2</sup> | $^3P_0$   | Литература  | $^3P_1$                                   | Литера-<br>тура                            | $^3P_2$ | Литература    | $^3P_{02}$                                       | Литера-<br>тура  |
|---------------------|---|---|---|---|--|---------|---------------|--|--|
| Ne                  | $\sigma$  | $2 \pm 0.5$<br>7.0                                | Настоящая<br>работа<br>[ <sup>6</sup> ]   |   |  |         |               | $1.0 \div 0.3$<br>7.0<br>4.2                     | Настоящая<br>работа<br>[ <sup>6</sup> ]<br>[ <sup>11</sup> ]   |
|                     | $\langle \sigma v \rangle$                                  |   |   | $2 \pm 0.5$ (300 K)<br>$11 \pm 3$ (450 K) | Настоящая<br>работа<br>Настоящая<br>работа |         |               | $0.8 \pm 0.2$<br>0.52<br>1.9 ± 0.2<br>3.6<br>0.3 | Настоящая<br>работа<br>[ <sup>6</sup> ]<br>[ <sup>7</sup> ]<br>[ <sup>9</sup> ]<br>[ <sup>10</sup> ] |
| Ar                  | $\sigma$  | $1.7 \pm 0.3$<br>$0.70$<br>$4.5 \pm 0.5$<br>$4.3$ | Настоящая<br>работа<br>[ <sup>6</sup> ]<br>[ <sup>7</sup> ]<br>[ <sup>9</sup> ] |   |  |         |               | $33$<br>$5.4$<br>$0.06$<br>$0.39$                | $[^{13}]$<br>$[^{14}]$<br>$[^{15}]$<br>$[^{15}]$   |
|                     | $\langle \sigma v \rangle$                                  | $0.78$  | [ <sup>9</sup> ]  | $20$<br>$0.8$<br>$0.95$                   |  |         |               | $10$<br>$0.66$<br>$0.47$                         | $[^{13}]$<br>$[^{9}]$<br>$[^{9}]$  |
| Xe                  |   |   |   |   |  |         | $0.3 \pm 0.1$ | Настоящая<br>работа                              |  |

В смеси Ar—H<sub>2</sub> основной канал гибели метастабильных состояний — возбуждение молекулы водорода. С ростом температуры (см. рисунок, б) также наблюдается рост сечений. В области температур 400÷500 К сечение разрушения  $^3P_2$ -уровня аргона достигает максимума. Температурная зависимость сечения разрушения  $^3P_0$ -уровня имеет немонотонный характер. Наблюдается ряд максимумов и минимумов. Такое различие в поведении двух уровней, отличающихся по энергии на 0.174 эВ поразительно. Аналогичный результат был получен в работе [6]. Авторы этой работы предполагают, что изменение температуры приводит к включению различных каналов возбуждения, зависящих от температуры. На рисунке, б стрелками отмечено положение максимумов в сечении разрушения  $^3P_0$ -уровня по данным [6].

Взаимодействие метастабильных атомов ксенона в состоянии  $^3P_2$  с молекулой водорода в нулевом колебательном состоянии  $X^1\Sigma_g^+$  ( $e=0$ ) в отличие от метастабильных атомов аргона, гелия и неона не должно сопровождаться ни возбуждением устойчивых состояний, ни ионизацией молекулы водорода. Для возбуждения первого возбужденного  $B^1\Sigma_u^+$ -состояния молекулы ксеноном необходимо, чтобы молекула находилась по крайней мере на 7—8-м колебательном уровне. Практически в условиях слабоионизованной плазмы заселенность этих уровней мала. Разрушение метастабильных атомов ксенона молекулой водорода возможно за счет колебательного и вращательного возбуждения молекулы и диссоциации молекулы через высокие колебательно-вращательные уровни. Измеренное нами сечение разрушения  $^3P_2$ -уровня ксенона при температуре 300 К меньше, чем для метастабильных атомов неона и аргона и растет в 1.5 раза при изменении температуры от 300 до 400 К (см. рисунок, а).

В таблице приводятся величины абсолютных сечений разрушения метастабильных состояний неона, аргона и ксенона при  $T=300$  К. Результаты сравниваются с данными других авторов. Несмотря на относительно большой разброс в сечениях, можно выявить некоторые закономерности. Так, сечения разрушения  $^3P_0$ - и  $^3P_1$ -уровней неона и аргона больше сечений разрушения  $^3P_2$ -уровня. Сечения, полученные в условиях стационарного послесвечения, превышают сечения, полученные в условиях текущего послесвечения. Результаты в пучках, как правило, меньше, чем в послесвечении. По-видимому, основной причиной несовпадения данных является различная степень колебательного возбуждения молекулы водорода в основном состоянии и разрушение метастабильных состояний медленными электронами. Эти факторы могут привести к завышению сечений в условиях послесвечения, а также частично сказываются на результатах, полученных в догоняющих пучках. Вторая причина — возможное различие в распределении атомов по скоростям. Приведенные нами данные в таблице получены с учетом разрушения метастабильных состояний электронами.

### Литература

- [1] О. П. Бочкова. Опт. и спектр., 39, 1187, 1975.
- [2] С. Э. Фриш, О. П. Бочкова. Тр. VI Всесоюз. конф. по физике электронных и атомных столкновений, Л., 1976.
- [3] Н. Нотор, А. Нихаус. Z. Phys., 215, 395, 1968.
- [4] W. Lindiger, A. Schmeltekopf, F. Fehsenfeld. J. Chem. Phys., 61, 2890, 1974.
- [5] T. Marschall. J. Appl. Phys., 36, 712, 1965.
- [6] B. Grzeta, Z. Starę, Z. Sternberg. VIII ICPEAC, Abstr. of papers, 877, Beograd, 1973.
- [7] Z. Sternberg, B. Grzeta. X ICPEAC, Abstr. of papers, 238, Paris, 1977.
- [8] M. Bourene, J. le Calve. J. Chem. Phys., 58, 1452, 1973.
- [9] A. Piper et al. J. Chem. Phys., 59, 3323, 1973.
- [10] A. Phelps, J. Molnar. Phys. Rev., 89, 1202, 1953.
- [11] T. Schut. Physica, 10, 440, 1943.
- [12] J. Leonhardt, P. Poppp. XIII Phenomena in ionised gases, 13, Berlin, 1977.
- [13] M. Bourene, H. Dutuit. J. Chem. Phys., 63, 4, 1668, 1975.
- [14] M. Neely, K. Hurst, A. Wagner. J. Chem. Phys., 63, 66, 2717, 1975.
- [15] H. Fink, D. Wallach, C. Moore. J. Chem. Phys., 56, 3608, 1972.

Поступило в Редакцию 23 мая 1978 г.